

Dane: Współczynniki niestateczności w podwyższonej temperaturze

Opracowanie podaje tablicę współczynników niestateczności elementów stalowych wykonanych z gatunków stali S235, S275, S355, S420 i S460 w przypadku wyboczenia i zwiczerzenia. Podano graficzne porównanie krzywych wyboczenia i zwiczerzenia w podwyższonej temperaturze i tych w temperaturze pokojowej.

Zawartość

| | |
|---|----|
| 1. Opis | 2 |
| 2. Tablice współczynników niestateczności | 5 |
| 3. Literatura | 10 |

1. Opis

Wartości współczynników wyboczenia w wypadku wyboczenia giętnego w podwyższonej temperaturze χ_{fi} są podane PN-EN 1993-1-2 §4.2.3.2 w funkcji innych współczynników, zależnych od temperatury $k_{y\theta}$, φ_0 i $\bar{\lambda}_0$. Jako alternatywę do oceny tych pośrednich parametrów, tablice przedstawione w rozdziale 2 niniejszego opracowania umożliwiają bezpośrednie wyznaczenie współczynników χ_{fi} . Tablice pozwalają wyznaczyć współczynnik wyboczenia χ_{fi} na podstawie smukłości względnej w temperaturze pokojowej $\bar{\lambda}$, wyznaczonej zgodnie z PN-EN 1993-1-1 §6.3.1.2 [2] i na podstawie wartości temperatury θ_a .

Podobnie, tablice również umożliwiają wyznaczenie współczynników zwichrzenia w podwyższonej temperaturze $\chi_{LT,fi}$. W tym przypadku średnia temperatura stali θ_a , w czasie t , jest zastąpiona największą temperaturą w pasie ściskanym $\theta_{a,com}$.

Dla porównania współczynników niestateczności w podwyższonej temperaturze i tych w temperaturze pokojowej, na Rys. 1.1 pokazano krzywe wyboczenia elementu ściskanego w temperaturze 500°C wykonanego ze stali węglowej gatunku S235, S275, S355, S420 i S460, oraz krzywą wyboczenia w temperaturze pokojowej, w zależności od smukłości względnej $\bar{\lambda}$. Krzywe te obowiązują również w wypadku współczynnika zwichrzenia $\chi_{LT,fi}$ w podwyższonej temperaturze i χ_{LT} w przypadku ogólnym, w temperaturze pokojowej (patrz PN-EN 1993-1-1 §6.3.2.2) w zależności od $\bar{\lambda}_{LT}$.

Celem zilustrowania zmiany współczynników niestateczności w zależności od zmiany temperatury, na Rys. 1.2 pokazano ich zmianę w funkcji smukłości, przy temperaturach 300°C; 400°C; 500°C i 600°C, w wypadku stali węglowej S355.

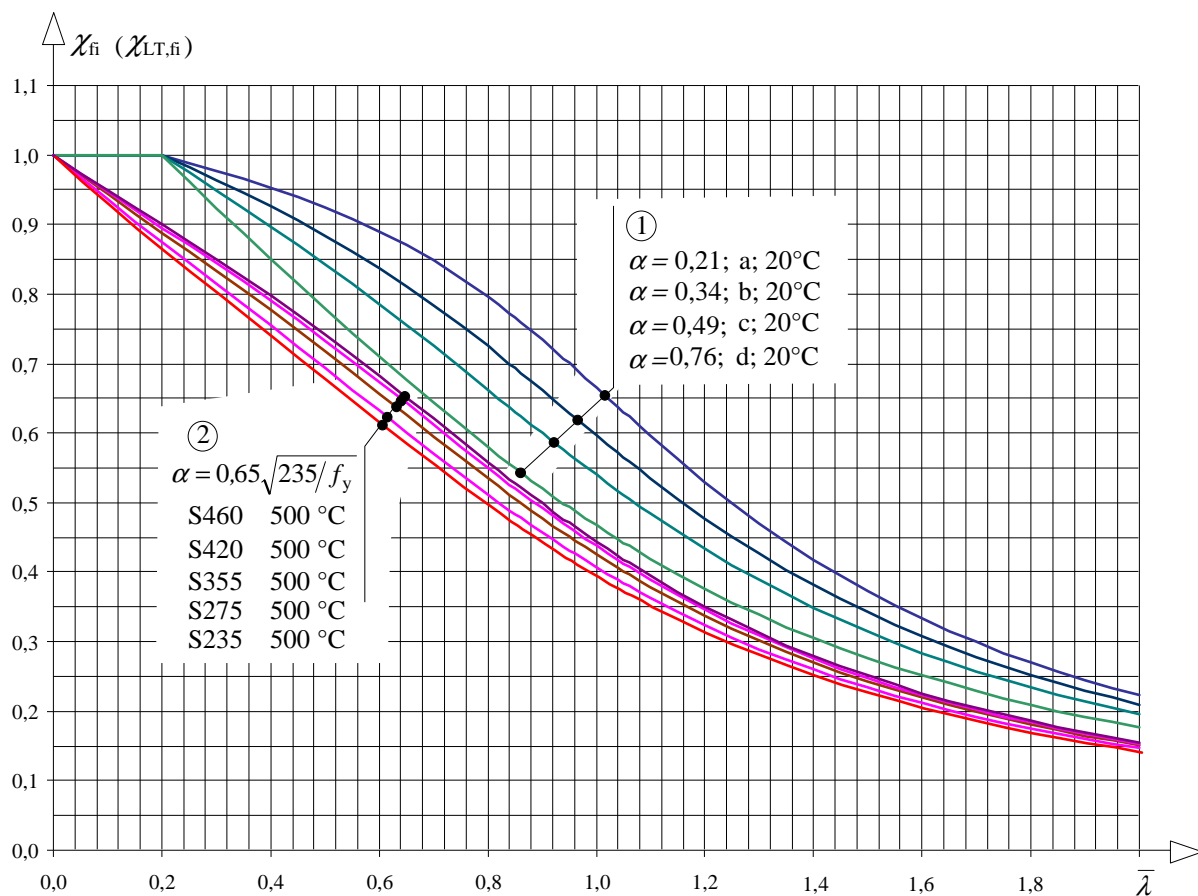
Proste tablice do projektowania, przydatne w fazie projektowania wstępnego elementów ściskanych osiowo w warunkach pożaru, są zamieszczone w [SN049](#).

Tablice od 2.1 do 2.5 zawarte w niniejszym opracowaniu służą do projektowania elementów ściskanych osiowo lub mimośrodowo i elementów zginanych podlegających zwichrzeniu.

Legenda do tablic zamieszczonych w rozdziale 2 jest podana poniżej.

Legenda do tablic współczynników wyboczeniowych

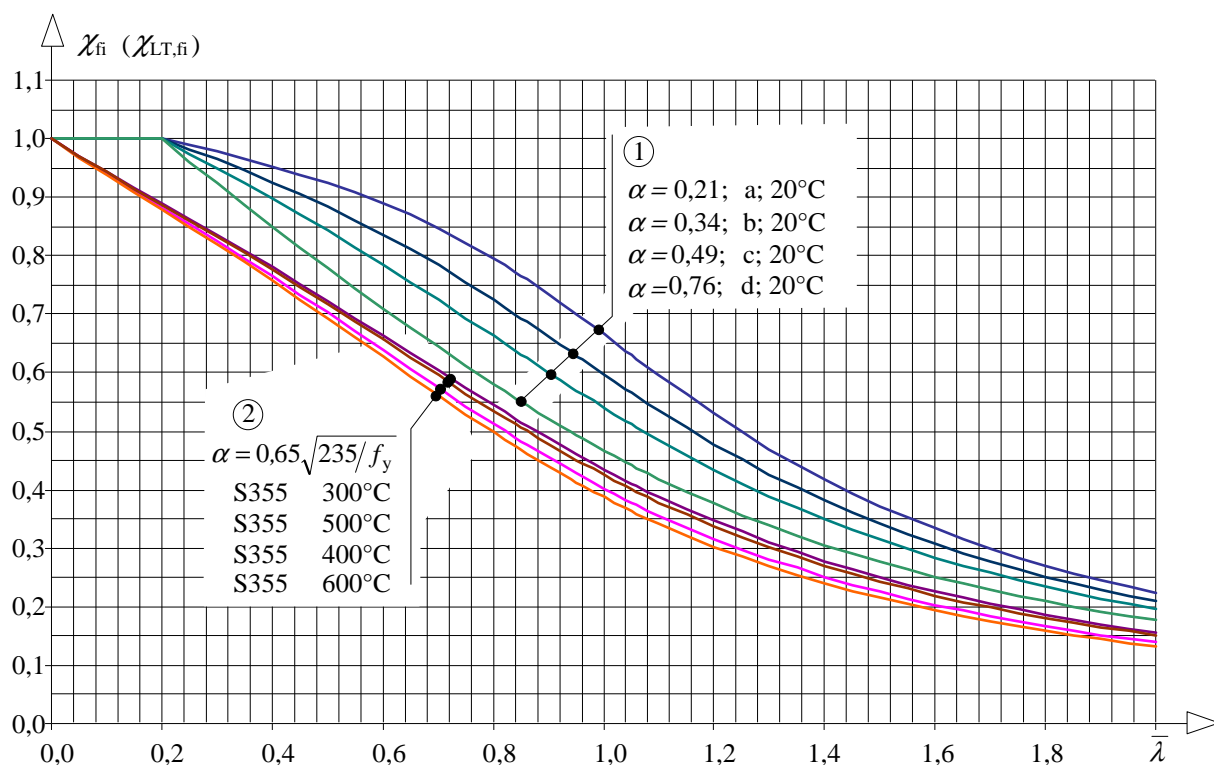
| Gatunek stali | Tablica |
|---------------|-------------|
| S235 | Tablica 2.1 |
| S275 | Tablica 2.2 |
| S355 | Tablica 2.3 |
| S420 | Tablica 2.4 |
| S460 | Tablica 2.5 |



Legenda:

- 1 Krzywe w temperaturze pokojowej
- 2 Krzywe w podwyższonej temperaturze

Rys. 1.1 Krzywe niestateczności w temperaturze pokojowej i w temperaturze 500 °C w wypadku stali węglowych S235, S275, S355, S420, S460



Legenda:

- 1 Krzywe w temperaturze pokojowej
- 2 Krzywe w podwyższonej temperaturze

Rys. 1.2 Krzywe niestateczności w temperaturze pokojowej i w temperaturze 300°C, 400°C, 500°C oraz 600°C w wypadku stali S355

2. Tablice współczynników niestateczności

Tablica 2.1 Współczynniki niestateczności w wypadku stali S235

| λ lub λ_{LT} | Współczynniki niestateczności χ_{fi} i $\chi_{LT,fi}$ w podwyższonej temperaturze θ_a | | | | | | | | | | | | |
|------------------------------|---|-------|-------|-------|-------|-------|-------|-------|-------|-------|-------|-------|-------|
| | 200°C | 250°C | 300°C | 350°C | 400°C | 450°C | 500°C | 550°C | 600°C | 650°C | 700°C | 750°C | 800°C |
| 0,00 | 1,000 | 1,000 | 1,000 | 1,000 | 1,000 | 1,000 | 1,000 | 1,000 | 1,000 | 1,000 | 1,000 | 1,000 | 1,000 |
| 0,05 | 0,967 | 0,966 | 0,965 | 0,964 | 0,962 | 0,963 | 0,964 | 0,963 | 0,961 | 0,960 | 0,958 | 0,961 | 0,965 |
| 0,10 | 0,935 | 0,933 | 0,932 | 0,929 | 0,927 | 0,928 | 0,930 | 0,928 | 0,925 | 0,923 | 0,919 | 0,924 | 0,932 |
| 0,15 | 0,905 | 0,902 | 0,899 | 0,896 | 0,893 | 0,895 | 0,898 | 0,895 | 0,890 | 0,887 | 0,882 | 0,889 | 0,900 |
| 0,20 | 0,875 | 0,872 | 0,868 | 0,864 | 0,860 | 0,862 | 0,866 | 0,862 | 0,856 | 0,852 | 0,845 | 0,854 | 0,869 |
| 0,25 | 0,846 | 0,842 | 0,837 | 0,832 | 0,827 | 0,830 | 0,834 | 0,830 | 0,822 | 0,818 | 0,808 | 0,820 | 0,839 |
| 0,30 | 0,817 | 0,812 | 0,807 | 0,801 | 0,794 | 0,798 | 0,803 | 0,798 | 0,788 | 0,783 | 0,772 | 0,786 | 0,809 |
| 0,35 | 0,788 | 0,782 | 0,776 | 0,769 | 0,761 | 0,766 | 0,772 | 0,766 | 0,754 | 0,749 | 0,735 | 0,752 | 0,778 |
| 0,40 | 0,759 | 0,753 | 0,745 | 0,737 | 0,728 | 0,734 | 0,741 | 0,734 | 0,720 | 0,714 | 0,699 | 0,718 | 0,748 |
| 0,45 | 0,730 | 0,723 | 0,715 | 0,706 | 0,696 | 0,702 | 0,709 | 0,701 | 0,687 | 0,679 | 0,662 | 0,684 | 0,718 |
| 0,50 | 0,702 | 0,693 | 0,684 | 0,674 | 0,663 | 0,670 | 0,678 | 0,669 | 0,653 | 0,645 | 0,626 | 0,650 | 0,687 |
| 0,55 | 0,673 | 0,663 | 0,653 | 0,642 | 0,630 | 0,638 | 0,647 | 0,637 | 0,619 | 0,610 | 0,590 | 0,616 | 0,657 |
| 0,60 | 0,644 | 0,634 | 0,623 | 0,611 | 0,598 | 0,606 | 0,616 | 0,605 | 0,586 | 0,577 | 0,555 | 0,582 | 0,627 |
| 0,65 | 0,615 | 0,604 | 0,593 | 0,580 | 0,566 | 0,575 | 0,585 | 0,574 | 0,554 | 0,544 | 0,521 | 0,550 | 0,597 |
| 0,70 | 0,587 | 0,575 | 0,563 | 0,550 | 0,535 | 0,544 | 0,555 | 0,543 | 0,522 | 0,512 | 0,488 | 0,518 | 0,568 |
| 0,75 | 0,559 | 0,547 | 0,534 | 0,520 | 0,505 | 0,514 | 0,526 | 0,514 | 0,492 | 0,481 | 0,457 | 0,487 | 0,539 |
| 0,80 | 0,532 | 0,519 | 0,506 | 0,492 | 0,476 | 0,486 | 0,497 | 0,485 | 0,463 | 0,452 | 0,427 | 0,458 | 0,511 |
| 0,82 | 0,521 | 0,508 | 0,495 | 0,480 | 0,465 | 0,474 | 0,486 | 0,474 | 0,451 | 0,440 | 0,416 | 0,447 | 0,500 |
| 0,84 | 0,510 | 0,498 | 0,484 | 0,470 | 0,454 | 0,464 | 0,475 | 0,463 | 0,440 | 0,429 | 0,405 | 0,436 | 0,489 |
| 0,85 | 0,505 | 0,492 | 0,479 | 0,464 | 0,449 | 0,458 | 0,470 | 0,457 | 0,435 | 0,424 | 0,400 | 0,431 | 0,484 |
| 0,86 | 0,500 | 0,487 | 0,474 | 0,459 | 0,443 | 0,453 | 0,465 | 0,452 | 0,430 | 0,419 | 0,394 | 0,425 | 0,479 |
| 0,88 | 0,490 | 0,477 | 0,463 | 0,448 | 0,433 | 0,442 | 0,454 | 0,442 | 0,419 | 0,408 | 0,384 | 0,415 | 0,468 |
| 0,90 | 0,480 | 0,467 | 0,453 | 0,438 | 0,422 | 0,432 | 0,444 | 0,431 | 0,409 | 0,398 | 0,374 | 0,404 | 0,458 |
| 0,92 | 0,470 | 0,457 | 0,443 | 0,428 | 0,412 | 0,422 | 0,434 | 0,421 | 0,399 | 0,388 | 0,364 | 0,394 | 0,448 |
| 0,94 | 0,460 | 0,447 | 0,433 | 0,418 | 0,402 | 0,412 | 0,424 | 0,411 | 0,389 | 0,378 | 0,354 | 0,385 | 0,438 |
| 0,95 | 0,455 | 0,442 | 0,428 | 0,413 | 0,398 | 0,407 | 0,419 | 0,407 | 0,384 | 0,373 | 0,350 | 0,380 | 0,433 |
| 0,96 | 0,450 | 0,437 | 0,423 | 0,409 | 0,393 | 0,403 | 0,414 | 0,402 | 0,379 | 0,369 | 0,345 | 0,375 | 0,429 |
| 0,98 | 0,441 | 0,428 | 0,414 | 0,399 | 0,384 | 0,393 | 0,405 | 0,392 | 0,370 | 0,359 | 0,336 | 0,366 | 0,419 |
| 1,00 | 0,432 | 0,419 | 0,405 | 0,390 | 0,374 | 0,384 | 0,396 | 0,383 | 0,361 | 0,350 | 0,327 | 0,357 | 0,410 |
| 1,02 | 0,423 | 0,410 | 0,396 | 0,381 | 0,366 | 0,375 | 0,387 | 0,374 | 0,352 | 0,342 | 0,319 | 0,348 | 0,401 |
| 1,04 | 0,414 | 0,401 | 0,387 | 0,372 | 0,357 | 0,366 | 0,378 | 0,366 | 0,344 | 0,333 | 0,311 | 0,340 | 0,392 |
| 1,06 | 0,405 | 0,392 | 0,378 | 0,364 | 0,349 | 0,358 | 0,369 | 0,357 | 0,336 | 0,325 | 0,303 | 0,331 | 0,383 |
| 1,08 | 0,396 | 0,384 | 0,370 | 0,356 | 0,340 | 0,350 | 0,361 | 0,349 | 0,327 | 0,317 | 0,295 | 0,323 | 0,375 |
| 1,10 | 0,388 | 0,375 | 0,362 | 0,347 | 0,332 | 0,342 | 0,353 | 0,341 | 0,320 | 0,309 | 0,288 | 0,316 | 0,367 |
| 1,15 | 0,368 | 0,355 | 0,342 | 0,328 | 0,313 | 0,322 | 0,334 | 0,322 | 0,301 | 0,291 | 0,270 | 0,297 | 0,347 |
| 1,20 | 0,349 | 0,337 | 0,324 | 0,310 | 0,296 | 0,305 | 0,315 | 0,304 | 0,284 | 0,274 | 0,254 | 0,280 | 0,328 |
| 1,25 | 0,331 | 0,319 | 0,306 | 0,293 | 0,279 | 0,288 | 0,298 | 0,287 | 0,268 | 0,259 | 0,239 | 0,264 | 0,311 |
| 1,30 | 0,315 | 0,303 | 0,290 | 0,277 | 0,264 | 0,272 | 0,283 | 0,272 | 0,253 | 0,244 | 0,225 | 0,249 | 0,295 |
| 1,35 | 0,299 | 0,287 | 0,275 | 0,263 | 0,250 | 0,258 | 0,268 | 0,257 | 0,239 | 0,231 | 0,212 | 0,236 | 0,280 |
| 1,40 | 0,284 | 0,273 | 0,261 | 0,249 | 0,237 | 0,244 | 0,254 | 0,244 | 0,226 | 0,218 | 0,201 | 0,223 | 0,266 |
| 1,45 | 0,270 | 0,259 | 0,248 | 0,236 | 0,224 | 0,232 | 0,241 | 0,231 | 0,214 | 0,206 | 0,190 | 0,211 | 0,252 |
| 1,50 | 0,257 | 0,247 | 0,236 | 0,225 | 0,213 | 0,220 | 0,229 | 0,220 | 0,203 | 0,196 | 0,180 | 0,200 | 0,240 |
| 1,55 | 0,245 | 0,235 | 0,224 | 0,214 | 0,202 | 0,209 | 0,218 | 0,209 | 0,193 | 0,186 | 0,170 | 0,190 | 0,228 |
| 1,60 | 0,234 | 0,224 | 0,214 | 0,203 | 0,192 | 0,199 | 0,207 | 0,199 | 0,183 | 0,177 | 0,162 | 0,181 | 0,217 |

Tablica 2.2 Współczynniki niestateczności w wypadku stali S275

| λ lub λ_{LT} | Współczynniki niestateczności χ_{fi} i $\chi_{LT,fi}$ w podwyższonej temperaturze θ_a | | | | | | | | | | | | |
|------------------------------|---|-------|-------|-------|-------|-------|-------|-------|-------|-------|-------|-------|-------|
| | 200°C | 250°C | 300°C | 350°C | 400°C | 450°C | 500°C | 550°C | 600°C | 650°C | 700°C | 750°C | 800°C |
| 0,00 | 1,000 | 1,000 | 1,000 | 1,000 | 1,000 | 1,000 | 1,000 | 1,000 | 1,000 | 1,000 | 1,000 | 1,000 | 1,000 |
| 0,05 | 0,969 | 0,968 | 0,967 | 0,966 | 0,965 | 0,966 | 0,967 | 0,966 | 0,964 | 0,963 | 0,961 | 0,964 | 0,968 |
| 0,10 | 0,940 | 0,938 | 0,936 | 0,934 | 0,932 | 0,934 | 0,935 | 0,933 | 0,930 | 0,929 | 0,925 | 0,930 | 0,937 |
| 0,15 | 0,911 | 0,909 | 0,906 | 0,903 | 0,900 | 0,902 | 0,905 | 0,902 | 0,897 | 0,895 | 0,889 | 0,896 | 0,907 |
| 0,20 | 0,884 | 0,880 | 0,877 | 0,873 | 0,869 | 0,871 | 0,874 | 0,871 | 0,865 | 0,862 | 0,855 | 0,864 | 0,878 |
| 0,25 | 0,856 | 0,852 | 0,848 | 0,843 | 0,837 | 0,841 | 0,845 | 0,841 | 0,833 | 0,829 | 0,820 | 0,831 | 0,849 |
| 0,30 | 0,828 | 0,824 | 0,818 | 0,813 | 0,806 | 0,810 | 0,815 | 0,810 | 0,801 | 0,796 | 0,785 | 0,799 | 0,820 |
| 0,35 | 0,801 | 0,795 | 0,789 | 0,782 | 0,775 | 0,779 | 0,785 | 0,779 | 0,768 | 0,762 | 0,750 | 0,766 | 0,791 |
| 0,40 | 0,773 | 0,766 | 0,759 | 0,752 | 0,743 | 0,748 | 0,755 | 0,748 | 0,735 | 0,729 | 0,714 | 0,733 | 0,762 |
| 0,45 | 0,745 | 0,738 | 0,730 | 0,721 | 0,711 | 0,717 | 0,724 | 0,716 | 0,702 | 0,695 | 0,678 | 0,699 | 0,733 |
| 0,50 | 0,717 | 0,708 | 0,699 | 0,689 | 0,678 | 0,685 | 0,693 | 0,685 | 0,669 | 0,661 | 0,642 | 0,665 | 0,703 |
| 0,55 | 0,688 | 0,679 | 0,669 | 0,658 | 0,646 | 0,653 | 0,662 | 0,653 | 0,635 | 0,626 | 0,606 | 0,632 | 0,673 |
| 0,60 | 0,660 | 0,650 | 0,639 | 0,627 | 0,614 | 0,622 | 0,632 | 0,621 | 0,602 | 0,592 | 0,570 | 0,598 | 0,643 |
| 0,65 | 0,631 | 0,620 | 0,608 | 0,596 | 0,582 | 0,590 | 0,601 | 0,590 | 0,569 | 0,559 | 0,536 | 0,565 | 0,613 |
| 0,70 | 0,602 | 0,591 | 0,579 | 0,565 | 0,550 | 0,559 | 0,570 | 0,559 | 0,537 | 0,526 | 0,502 | 0,533 | 0,583 |
| 0,75 | 0,574 | 0,562 | 0,549 | 0,535 | 0,520 | 0,529 | 0,541 | 0,528 | 0,506 | 0,495 | 0,470 | 0,502 | 0,554 |
| 0,80 | 0,547 | 0,534 | 0,521 | 0,506 | 0,490 | 0,500 | 0,512 | 0,499 | 0,476 | 0,465 | 0,440 | 0,472 | 0,526 |
| 0,82 | 0,536 | 0,523 | 0,509 | 0,495 | 0,479 | 0,488 | 0,500 | 0,488 | 0,465 | 0,453 | 0,428 | 0,460 | 0,514 |
| 0,84 | 0,525 | 0,512 | 0,498 | 0,483 | 0,467 | 0,477 | 0,489 | 0,476 | 0,453 | 0,442 | 0,417 | 0,449 | 0,503 |
| 0,85 | 0,520 | 0,507 | 0,493 | 0,478 | 0,462 | 0,472 | 0,484 | 0,471 | 0,448 | 0,436 | 0,411 | 0,443 | 0,498 |
| 0,86 | 0,514 | 0,501 | 0,487 | 0,472 | 0,456 | 0,466 | 0,478 | 0,465 | 0,442 | 0,431 | 0,406 | 0,438 | 0,493 |
| 0,88 | 0,504 | 0,491 | 0,477 | 0,462 | 0,445 | 0,455 | 0,468 | 0,455 | 0,431 | 0,420 | 0,395 | 0,427 | 0,482 |
| 0,90 | 0,494 | 0,480 | 0,466 | 0,451 | 0,435 | 0,445 | 0,457 | 0,444 | 0,421 | 0,409 | 0,384 | 0,416 | 0,471 |
| 0,92 | 0,483 | 0,470 | 0,456 | 0,441 | 0,424 | 0,434 | 0,447 | 0,434 | 0,410 | 0,399 | 0,374 | 0,406 | 0,461 |
| 0,94 | 0,473 | 0,460 | 0,446 | 0,430 | 0,414 | 0,424 | 0,436 | 0,423 | 0,400 | 0,389 | 0,364 | 0,396 | 0,451 |
| 0,95 | 0,468 | 0,455 | 0,441 | 0,425 | 0,409 | 0,419 | 0,431 | 0,418 | 0,395 | 0,384 | 0,359 | 0,391 | 0,446 |
| 0,96 | 0,464 | 0,450 | 0,436 | 0,420 | 0,404 | 0,414 | 0,426 | 0,413 | 0,390 | 0,379 | 0,355 | 0,386 | 0,441 |
| 0,98 | 0,454 | 0,440 | 0,426 | 0,411 | 0,395 | 0,405 | 0,417 | 0,404 | 0,381 | 0,370 | 0,345 | 0,376 | 0,431 |
| 1,00 | 0,444 | 0,431 | 0,416 | 0,401 | 0,385 | 0,395 | 0,407 | 0,394 | 0,371 | 0,360 | 0,336 | 0,367 | 0,422 |
| 1,02 | 0,435 | 0,421 | 0,407 | 0,392 | 0,376 | 0,386 | 0,398 | 0,385 | 0,362 | 0,351 | 0,328 | 0,358 | 0,412 |
| 1,04 | 0,426 | 0,412 | 0,398 | 0,383 | 0,367 | 0,377 | 0,389 | 0,376 | 0,353 | 0,343 | 0,319 | 0,349 | 0,403 |
| 1,06 | 0,417 | 0,403 | 0,389 | 0,374 | 0,358 | 0,368 | 0,380 | 0,367 | 0,345 | 0,334 | 0,311 | 0,340 | 0,394 |
| 1,08 | 0,408 | 0,395 | 0,380 | 0,365 | 0,350 | 0,359 | 0,371 | 0,359 | 0,336 | 0,326 | 0,303 | 0,332 | 0,386 |
| 1,10 | 0,399 | 0,386 | 0,372 | 0,357 | 0,341 | 0,351 | 0,363 | 0,350 | 0,328 | 0,318 | 0,295 | 0,324 | 0,377 |
| 1,15 | 0,379 | 0,365 | 0,352 | 0,337 | 0,322 | 0,331 | 0,343 | 0,330 | 0,309 | 0,299 | 0,277 | 0,305 | 0,357 |
| 1,20 | 0,359 | 0,346 | 0,332 | 0,318 | 0,304 | 0,313 | 0,324 | 0,312 | 0,291 | 0,281 | 0,260 | 0,287 | 0,337 |
| 1,25 | 0,341 | 0,328 | 0,315 | 0,301 | 0,287 | 0,295 | 0,306 | 0,295 | 0,274 | 0,265 | 0,245 | 0,271 | 0,319 |
| 1,30 | 0,323 | 0,311 | 0,298 | 0,285 | 0,271 | 0,279 | 0,290 | 0,279 | 0,259 | 0,250 | 0,230 | 0,255 | 0,303 |
| 1,35 | 0,307 | 0,295 | 0,282 | 0,269 | 0,256 | 0,264 | 0,274 | 0,264 | 0,245 | 0,236 | 0,217 | 0,241 | 0,287 |
| 1,40 | 0,292 | 0,280 | 0,268 | 0,255 | 0,242 | 0,250 | 0,260 | 0,250 | 0,232 | 0,223 | 0,205 | 0,228 | 0,272 |
| 1,45 | 0,277 | 0,266 | 0,254 | 0,242 | 0,230 | 0,237 | 0,247 | 0,237 | 0,219 | 0,211 | 0,194 | 0,216 | 0,258 |
| 1,50 | 0,264 | 0,253 | 0,241 | 0,230 | 0,218 | 0,225 | 0,234 | 0,225 | 0,208 | 0,200 | 0,184 | 0,205 | 0,246 |
| 1,55 | 0,251 | 0,241 | 0,230 | 0,218 | 0,207 | 0,214 | 0,223 | 0,213 | 0,197 | 0,190 | 0,174 | 0,194 | 0,234 |
| 1,60 | 0,239 | 0,229 | 0,219 | 0,208 | 0,197 | 0,203 | 0,212 | 0,203 | 0,187 | 0,180 | 0,165 | 0,184 | 0,222 |

Tablica 2.3 Współczynniki niestateczności w wypadku stali S355

| λ lub λ_{LT} | Współczynniki niestateczności χ_{fi} i $\chi_{LT,fi}$ w podwyższonej temperaturze θ_a | | | | | | | | | | | | |
|------------------------------|---|-------|-------|-------|-------|-------|-------|-------|-------|-------|-------|-------|-------|
| | 200°C | 250°C | 300°C | 350°C | 400°C | 450°C | 500°C | 550°C | 600°C | 650°C | 700°C | 750°C | 800°C |
| 0,00 | 1,000 | 1,000 | 1,000 | 1,000 | 1,000 | 1,000 | 1,000 | 1,000 | 1,000 | 1,000 | 1,000 | 1,000 | 1,000 |
| 0,05 | 0,973 | 0,972 | 0,971 | 0,970 | 0,969 | 0,970 | 0,971 | 0,970 | 0,968 | 0,968 | 0,966 | 0,968 | 0,972 |
| 0,10 | 0,947 | 0,945 | 0,944 | 0,942 | 0,940 | 0,941 | 0,942 | 0,941 | 0,938 | 0,937 | 0,933 | 0,937 | 0,944 |
| 0,15 | 0,921 | 0,919 | 0,917 | 0,914 | 0,911 | 0,913 | 0,915 | 0,913 | 0,908 | 0,906 | 0,901 | 0,908 | 0,917 |
| 0,20 | 0,896 | 0,893 | 0,890 | 0,886 | 0,883 | 0,885 | 0,888 | 0,885 | 0,879 | 0,876 | 0,870 | 0,878 | 0,891 |
| 0,25 | 0,871 | 0,867 | 0,863 | 0,859 | 0,854 | 0,857 | 0,861 | 0,857 | 0,850 | 0,846 | 0,838 | 0,848 | 0,865 |
| 0,30 | 0,846 | 0,841 | 0,836 | 0,831 | 0,825 | 0,829 | 0,833 | 0,828 | 0,820 | 0,815 | 0,805 | 0,818 | 0,838 |
| 0,35 | 0,820 | 0,815 | 0,809 | 0,803 | 0,796 | 0,800 | 0,805 | 0,800 | 0,789 | 0,784 | 0,772 | 0,787 | 0,811 |
| 0,40 | 0,794 | 0,788 | 0,781 | 0,774 | 0,765 | 0,771 | 0,777 | 0,770 | 0,758 | 0,752 | 0,738 | 0,756 | 0,784 |
| 0,45 | 0,767 | 0,760 | 0,753 | 0,744 | 0,735 | 0,741 | 0,747 | 0,740 | 0,726 | 0,719 | 0,703 | 0,723 | 0,756 |
| 0,50 | 0,740 | 0,732 | 0,724 | 0,714 | 0,703 | 0,710 | 0,718 | 0,709 | 0,694 | 0,686 | 0,667 | 0,690 | 0,727 |
| 0,55 | 0,713 | 0,704 | 0,694 | 0,683 | 0,671 | 0,679 | 0,688 | 0,678 | 0,661 | 0,652 | 0,631 | 0,657 | 0,698 |
| 0,60 | 0,685 | 0,675 | 0,664 | 0,652 | 0,639 | 0,647 | 0,657 | 0,647 | 0,627 | 0,618 | 0,595 | 0,623 | 0,668 |
| 0,65 | 0,656 | 0,646 | 0,634 | 0,621 | 0,607 | 0,616 | 0,626 | 0,615 | 0,594 | 0,584 | 0,560 | 0,590 | 0,638 |
| 0,70 | 0,628 | 0,616 | 0,604 | 0,590 | 0,575 | 0,584 | 0,595 | 0,583 | 0,561 | 0,550 | 0,525 | 0,557 | 0,608 |
| 0,75 | 0,599 | 0,587 | 0,574 | 0,559 | 0,543 | 0,553 | 0,565 | 0,552 | 0,529 | 0,518 | 0,492 | 0,525 | 0,579 |
| 0,80 | 0,571 | 0,558 | 0,544 | 0,529 | 0,512 | 0,523 | 0,535 | 0,522 | 0,498 | 0,486 | 0,460 | 0,493 | 0,549 |
| 0,82 | 0,560 | 0,547 | 0,533 | 0,517 | 0,500 | 0,511 | 0,523 | 0,510 | 0,486 | 0,474 | 0,448 | 0,481 | 0,538 |
| 0,84 | 0,549 | 0,535 | 0,521 | 0,506 | 0,489 | 0,499 | 0,512 | 0,498 | 0,474 | 0,462 | 0,436 | 0,469 | 0,526 |
| 0,85 | 0,543 | 0,530 | 0,515 | 0,500 | 0,483 | 0,493 | 0,506 | 0,492 | 0,468 | 0,456 | 0,430 | 0,463 | 0,521 |
| 0,86 | 0,538 | 0,524 | 0,510 | 0,494 | 0,477 | 0,488 | 0,500 | 0,487 | 0,462 | 0,450 | 0,424 | 0,458 | 0,515 |
| 0,88 | 0,527 | 0,513 | 0,499 | 0,483 | 0,466 | 0,476 | 0,489 | 0,475 | 0,451 | 0,439 | 0,413 | 0,446 | 0,504 |
| 0,90 | 0,516 | 0,502 | 0,488 | 0,472 | 0,455 | 0,465 | 0,478 | 0,464 | 0,440 | 0,428 | 0,401 | 0,435 | 0,493 |
| 0,92 | 0,506 | 0,492 | 0,477 | 0,461 | 0,444 | 0,454 | 0,467 | 0,453 | 0,429 | 0,417 | 0,391 | 0,424 | 0,482 |
| 0,94 | 0,495 | 0,481 | 0,466 | 0,450 | 0,433 | 0,443 | 0,456 | 0,443 | 0,418 | 0,406 | 0,380 | 0,413 | 0,472 |
| 0,95 | 0,490 | 0,476 | 0,461 | 0,445 | 0,428 | 0,438 | 0,451 | 0,437 | 0,413 | 0,401 | 0,375 | 0,408 | 0,466 |
| 0,96 | 0,485 | 0,471 | 0,456 | 0,440 | 0,422 | 0,433 | 0,446 | 0,432 | 0,408 | 0,396 | 0,370 | 0,403 | 0,461 |
| 0,98 | 0,475 | 0,460 | 0,445 | 0,429 | 0,412 | 0,423 | 0,436 | 0,422 | 0,398 | 0,386 | 0,360 | 0,393 | 0,451 |
| 1,00 | 0,465 | 0,450 | 0,435 | 0,419 | 0,402 | 0,413 | 0,426 | 0,412 | 0,388 | 0,376 | 0,351 | 0,383 | 0,441 |
| 1,02 | 0,455 | 0,441 | 0,425 | 0,409 | 0,393 | 0,403 | 0,416 | 0,402 | 0,378 | 0,366 | 0,341 | 0,373 | 0,431 |
| 1,04 | 0,445 | 0,431 | 0,416 | 0,400 | 0,383 | 0,393 | 0,406 | 0,393 | 0,369 | 0,357 | 0,332 | 0,364 | 0,421 |
| 1,06 | 0,436 | 0,421 | 0,406 | 0,391 | 0,374 | 0,384 | 0,397 | 0,383 | 0,360 | 0,348 | 0,324 | 0,355 | 0,412 |
| 1,08 | 0,426 | 0,412 | 0,397 | 0,381 | 0,365 | 0,375 | 0,388 | 0,374 | 0,351 | 0,339 | 0,315 | 0,346 | 0,403 |
| 1,10 | 0,417 | 0,403 | 0,388 | 0,373 | 0,356 | 0,366 | 0,379 | 0,365 | 0,342 | 0,331 | 0,307 | 0,338 | 0,394 |
| 1,15 | 0,395 | 0,381 | 0,367 | 0,351 | 0,335 | 0,345 | 0,357 | 0,344 | 0,322 | 0,311 | 0,288 | 0,317 | 0,372 |
| 1,20 | 0,375 | 0,361 | 0,347 | 0,332 | 0,316 | 0,325 | 0,337 | 0,325 | 0,303 | 0,292 | 0,270 | 0,298 | 0,352 |
| 1,25 | 0,355 | 0,342 | 0,328 | 0,313 | 0,298 | 0,307 | 0,319 | 0,306 | 0,285 | 0,275 | 0,254 | 0,281 | 0,333 |
| 1,30 | 0,337 | 0,324 | 0,310 | 0,296 | 0,281 | 0,290 | 0,301 | 0,289 | 0,269 | 0,259 | 0,239 | 0,265 | 0,315 |
| 1,35 | 0,319 | 0,307 | 0,293 | 0,280 | 0,266 | 0,274 | 0,285 | 0,274 | 0,254 | 0,244 | 0,225 | 0,250 | 0,298 |
| 1,40 | 0,303 | 0,291 | 0,278 | 0,265 | 0,251 | 0,259 | 0,270 | 0,259 | 0,240 | 0,231 | 0,212 | 0,236 | 0,283 |
| 1,45 | 0,288 | 0,276 | 0,264 | 0,251 | 0,238 | 0,246 | 0,256 | 0,245 | 0,227 | 0,218 | 0,200 | 0,223 | 0,268 |
| 1,50 | 0,274 | 0,262 | 0,250 | 0,238 | 0,225 | 0,233 | 0,243 | 0,232 | 0,215 | 0,207 | 0,189 | 0,212 | 0,255 |
| 1,55 | 0,261 | 0,249 | 0,238 | 0,226 | 0,214 | 0,221 | 0,231 | 0,221 | 0,204 | 0,196 | 0,179 | 0,200 | 0,242 |
| 1,60 | 0,248 | 0,237 | 0,226 | 0,215 | 0,203 | 0,210 | 0,219 | 0,210 | 0,193 | 0,186 | 0,170 | 0,190 | 0,230 |

Tablica 2.4 Współczynniki niestateczności w wypadku stali S420

| λ lub λ_{LT} | Współczynniki niestateczności $\chi_{\#}$ i $\chi_{T,fi}$ w podwyższonej temperaturze θ_a | | | | | | | | | | | | |
|------------------------------|--|-------|-------|-------|-------|-------|-------|-------|-------|-------|-------|-------|-------|
| | 200°C | 250°C | 300°C | 350°C | 400°C | 450°C | 500°C | 550°C | 600°C | 650°C | 700°C | 750°C | 800°C |
| 0,00 | 1,000 | 1,000 | 1,000 | 1,000 | 1,000 | 1,000 | 1,000 | 1,000 | 1,000 | 1,000 | 1,000 | 1,000 | 1,000 |
| 0,05 | 0,975 | 0,974 | 0,973 | 0,973 | 0,972 | 0,972 | 0,973 | 0,972 | 0,971 | 0,970 | 0,969 | 0,971 | 0,974 |
| 0,10 | 0,951 | 0,949 | 0,948 | 0,946 | 0,944 | 0,946 | 0,947 | 0,945 | 0,943 | 0,941 | 0,938 | 0,942 | 0,948 |
| 0,15 | 0,927 | 0,925 | 0,923 | 0,920 | 0,918 | 0,919 | 0,921 | 0,919 | 0,915 | 0,913 | 0,909 | 0,914 | 0,924 |
| 0,20 | 0,904 | 0,901 | 0,898 | 0,895 | 0,891 | 0,893 | 0,896 | 0,893 | 0,888 | 0,885 | 0,879 | 0,887 | 0,899 |
| 0,25 | 0,880 | 0,876 | 0,873 | 0,869 | 0,864 | 0,867 | 0,870 | 0,867 | 0,860 | 0,856 | 0,849 | 0,859 | 0,874 |
| 0,30 | 0,856 | 0,852 | 0,847 | 0,842 | 0,837 | 0,840 | 0,844 | 0,840 | 0,832 | 0,827 | 0,818 | 0,830 | 0,849 |
| 0,35 | 0,832 | 0,827 | 0,821 | 0,815 | 0,808 | 0,813 | 0,818 | 0,812 | 0,802 | 0,797 | 0,786 | 0,800 | 0,823 |
| 0,40 | 0,807 | 0,801 | 0,795 | 0,787 | 0,780 | 0,784 | 0,790 | 0,784 | 0,772 | 0,766 | 0,753 | 0,770 | 0,797 |
| 0,45 | 0,781 | 0,775 | 0,767 | 0,759 | 0,750 | 0,755 | 0,762 | 0,755 | 0,741 | 0,734 | 0,718 | 0,739 | 0,770 |
| 0,50 | 0,755 | 0,747 | 0,739 | 0,729 | 0,719 | 0,725 | 0,733 | 0,725 | 0,709 | 0,702 | 0,683 | 0,706 | 0,742 |
| 0,55 | 0,728 | 0,719 | 0,710 | 0,699 | 0,687 | 0,695 | 0,703 | 0,694 | 0,677 | 0,668 | 0,648 | 0,673 | 0,713 |
| 0,60 | 0,701 | 0,691 | 0,680 | 0,668 | 0,655 | 0,663 | 0,673 | 0,663 | 0,644 | 0,634 | 0,611 | 0,640 | 0,684 |
| 0,65 | 0,673 | 0,662 | 0,650 | 0,637 | 0,623 | 0,632 | 0,642 | 0,631 | 0,610 | 0,600 | 0,575 | 0,606 | 0,655 |
| 0,70 | 0,644 | 0,633 | 0,620 | 0,606 | 0,591 | 0,600 | 0,611 | 0,599 | 0,577 | 0,566 | 0,540 | 0,572 | 0,625 |
| 0,75 | 0,616 | 0,603 | 0,590 | 0,575 | 0,558 | 0,568 | 0,581 | 0,568 | 0,544 | 0,532 | 0,506 | 0,539 | 0,595 |
| 0,80 | 0,587 | 0,574 | 0,560 | 0,544 | 0,527 | 0,538 | 0,550 | 0,537 | 0,512 | 0,500 | 0,473 | 0,507 | 0,565 |
| 0,82 | 0,576 | 0,562 | 0,548 | 0,532 | 0,515 | 0,525 | 0,538 | 0,525 | 0,500 | 0,488 | 0,460 | 0,495 | 0,553 |
| 0,84 | 0,564 | 0,551 | 0,536 | 0,520 | 0,503 | 0,513 | 0,526 | 0,513 | 0,488 | 0,475 | 0,448 | 0,483 | 0,541 |
| 0,85 | 0,559 | 0,545 | 0,530 | 0,514 | 0,497 | 0,507 | 0,520 | 0,507 | 0,482 | 0,469 | 0,442 | 0,477 | 0,536 |
| 0,86 | 0,553 | 0,539 | 0,524 | 0,508 | 0,491 | 0,501 | 0,515 | 0,501 | 0,476 | 0,463 | 0,436 | 0,471 | 0,530 |
| 0,88 | 0,542 | 0,528 | 0,513 | 0,497 | 0,479 | 0,490 | 0,503 | 0,489 | 0,464 | 0,451 | 0,424 | 0,459 | 0,518 |
| 0,90 | 0,531 | 0,517 | 0,502 | 0,485 | 0,467 | 0,478 | 0,492 | 0,478 | 0,452 | 0,440 | 0,413 | 0,447 | 0,507 |
| 0,92 | 0,520 | 0,506 | 0,490 | 0,474 | 0,456 | 0,467 | 0,480 | 0,466 | 0,441 | 0,428 | 0,401 | 0,436 | 0,496 |
| 0,94 | 0,509 | 0,495 | 0,479 | 0,463 | 0,445 | 0,456 | 0,469 | 0,455 | 0,430 | 0,417 | 0,391 | 0,425 | 0,485 |
| 0,95 | 0,504 | 0,489 | 0,474 | 0,457 | 0,440 | 0,451 | 0,464 | 0,450 | 0,424 | 0,412 | 0,385 | 0,419 | 0,480 |
| 0,96 | 0,499 | 0,484 | 0,469 | 0,452 | 0,434 | 0,445 | 0,459 | 0,444 | 0,419 | 0,407 | 0,380 | 0,414 | 0,474 |
| 0,98 | 0,488 | 0,474 | 0,458 | 0,441 | 0,424 | 0,435 | 0,448 | 0,434 | 0,409 | 0,396 | 0,370 | 0,404 | 0,464 |
| 1,00 | 0,478 | 0,463 | 0,448 | 0,431 | 0,413 | 0,424 | 0,438 | 0,423 | 0,398 | 0,386 | 0,360 | 0,393 | 0,453 |
| 1,02 | 0,468 | 0,453 | 0,437 | 0,421 | 0,403 | 0,414 | 0,427 | 0,413 | 0,388 | 0,376 | 0,350 | 0,383 | 0,443 |
| 1,04 | 0,458 | 0,443 | 0,427 | 0,411 | 0,393 | 0,404 | 0,417 | 0,403 | 0,379 | 0,367 | 0,341 | 0,374 | 0,433 |
| 1,06 | 0,448 | 0,433 | 0,418 | 0,401 | 0,384 | 0,395 | 0,408 | 0,394 | 0,369 | 0,357 | 0,332 | 0,364 | 0,423 |
| 1,08 | 0,438 | 0,424 | 0,408 | 0,392 | 0,375 | 0,385 | 0,398 | 0,384 | 0,360 | 0,348 | 0,323 | 0,355 | 0,414 |
| 1,10 | 0,429 | 0,414 | 0,399 | 0,383 | 0,365 | 0,376 | 0,389 | 0,375 | 0,351 | 0,339 | 0,315 | 0,346 | 0,405 |
| 1,15 | 0,406 | 0,392 | 0,377 | 0,361 | 0,344 | 0,354 | 0,367 | 0,353 | 0,330 | 0,319 | 0,295 | 0,325 | 0,382 |
| 1,20 | 0,385 | 0,370 | 0,356 | 0,340 | 0,324 | 0,334 | 0,346 | 0,333 | 0,310 | 0,299 | 0,276 | 0,306 | 0,361 |
| 1,25 | 0,364 | 0,350 | 0,336 | 0,321 | 0,305 | 0,315 | 0,327 | 0,314 | 0,292 | 0,281 | 0,259 | 0,288 | 0,341 |
| 1,30 | 0,345 | 0,332 | 0,318 | 0,303 | 0,288 | 0,297 | 0,309 | 0,296 | 0,275 | 0,265 | 0,244 | 0,271 | 0,323 |
| 1,35 | 0,327 | 0,314 | 0,301 | 0,286 | 0,272 | 0,281 | 0,292 | 0,280 | 0,259 | 0,250 | 0,229 | 0,256 | 0,306 |
| 1,40 | 0,311 | 0,298 | 0,285 | 0,271 | 0,257 | 0,265 | 0,276 | 0,265 | 0,245 | 0,236 | 0,216 | 0,241 | 0,289 |
| 1,45 | 0,295 | 0,283 | 0,270 | 0,257 | 0,243 | 0,251 | 0,262 | 0,251 | 0,232 | 0,223 | 0,204 | 0,228 | 0,274 |
| 1,50 | 0,280 | 0,268 | 0,256 | 0,243 | 0,230 | 0,238 | 0,248 | 0,237 | 0,219 | 0,211 | 0,193 | 0,216 | 0,260 |
| 1,55 | 0,266 | 0,255 | 0,243 | 0,231 | 0,218 | 0,226 | 0,235 | 0,225 | 0,208 | 0,200 | 0,183 | 0,204 | 0,247 |
| 1,60 | 0,254 | 0,242 | 0,231 | 0,219 | 0,207 | 0,214 | 0,224 | 0,214 | 0,197 | 0,189 | 0,173 | 0,194 | 0,235 |

Tablica 2.5 Współczynniki niestateczności w wypadku stali S460

| λ lub λ_{LT} | Współczynniki niestateczności χ_{fi} i $\chi_{LT,fi}$ w podwyższonej temperaturze θ_a | | | | | | | | | | | | |
|------------------------------|---|-------|-------|-------|-------|-------|-------|-------|-------|-------|-------|-------|-------|
| | 200°C | 250°C | 300°C | 350°C | 400°C | 450°C | 500°C | 550°C | 600°C | 650°C | 700°C | 750°C | 800°C |
| 0,00 | 1,000 | 1,000 | 1,000 | 1,000 | 1,000 | 1,000 | 1,000 | 1,000 | 1,000 | 1,000 | 1,000 | 1,000 | 1,000 |
| 0,05 | 0,976 | 0,975 | 0,975 | 0,974 | 0,973 | 0,973 | 0,974 | 0,973 | 0,972 | 0,971 | 0,970 | 0,972 | 0,975 |
| 0,10 | 0,953 | 0,952 | 0,950 | 0,948 | 0,947 | 0,948 | 0,949 | 0,948 | 0,945 | 0,944 | 0,941 | 0,945 | 0,951 |
| 0,15 | 0,930 | 0,928 | 0,926 | 0,924 | 0,921 | 0,923 | 0,925 | 0,922 | 0,919 | 0,917 | 0,912 | 0,918 | 0,927 |
| 0,20 | 0,907 | 0,905 | 0,902 | 0,899 | 0,895 | 0,897 | 0,900 | 0,897 | 0,892 | 0,889 | 0,884 | 0,891 | 0,903 |
| 0,25 | 0,885 | 0,881 | 0,878 | 0,874 | 0,869 | 0,872 | 0,875 | 0,872 | 0,865 | 0,862 | 0,854 | 0,864 | 0,879 |
| 0,30 | 0,862 | 0,857 | 0,853 | 0,848 | 0,843 | 0,846 | 0,850 | 0,846 | 0,838 | 0,834 | 0,824 | 0,836 | 0,855 |
| 0,35 | 0,838 | 0,833 | 0,828 | 0,822 | 0,815 | 0,819 | 0,824 | 0,819 | 0,809 | 0,804 | 0,793 | 0,807 | 0,830 |
| 0,40 | 0,814 | 0,808 | 0,802 | 0,795 | 0,787 | 0,792 | 0,797 | 0,791 | 0,780 | 0,774 | 0,760 | 0,778 | 0,804 |
| 0,45 | 0,789 | 0,782 | 0,775 | 0,767 | 0,758 | 0,763 | 0,770 | 0,763 | 0,749 | 0,743 | 0,727 | 0,747 | 0,777 |
| 0,50 | 0,763 | 0,755 | 0,747 | 0,738 | 0,727 | 0,734 | 0,741 | 0,733 | 0,718 | 0,710 | 0,692 | 0,715 | 0,750 |
| 0,55 | 0,736 | 0,728 | 0,718 | 0,708 | 0,696 | 0,703 | 0,712 | 0,703 | 0,685 | 0,677 | 0,656 | 0,682 | 0,722 |
| 0,60 | 0,709 | 0,699 | 0,689 | 0,677 | 0,664 | 0,672 | 0,682 | 0,672 | 0,652 | 0,643 | 0,620 | 0,648 | 0,693 |
| 0,65 | 0,681 | 0,671 | 0,659 | 0,646 | 0,632 | 0,640 | 0,651 | 0,640 | 0,619 | 0,608 | 0,584 | 0,615 | 0,663 |
| 0,70 | 0,653 | 0,641 | 0,628 | 0,614 | 0,599 | 0,609 | 0,620 | 0,608 | 0,585 | 0,574 | 0,548 | 0,581 | 0,633 |
| 0,75 | 0,624 | 0,612 | 0,598 | 0,583 | 0,567 | 0,577 | 0,589 | 0,576 | 0,552 | 0,540 | 0,513 | 0,547 | 0,603 |
| 0,80 | 0,595 | 0,582 | 0,568 | 0,552 | 0,535 | 0,545 | 0,558 | 0,545 | 0,520 | 0,508 | 0,480 | 0,515 | 0,573 |
| 0,82 | 0,584 | 0,570 | 0,556 | 0,540 | 0,522 | 0,533 | 0,546 | 0,532 | 0,507 | 0,495 | 0,467 | 0,502 | 0,561 |
| 0,84 | 0,573 | 0,559 | 0,544 | 0,528 | 0,510 | 0,521 | 0,534 | 0,520 | 0,495 | 0,482 | 0,455 | 0,490 | 0,549 |
| 0,85 | 0,567 | 0,553 | 0,538 | 0,522 | 0,504 | 0,515 | 0,528 | 0,514 | 0,489 | 0,476 | 0,448 | 0,484 | 0,544 |
| 0,86 | 0,561 | 0,547 | 0,532 | 0,516 | 0,498 | 0,509 | 0,522 | 0,508 | 0,483 | 0,470 | 0,442 | 0,478 | 0,538 |
| 0,88 | 0,550 | 0,536 | 0,520 | 0,504 | 0,486 | 0,497 | 0,510 | 0,496 | 0,471 | 0,458 | 0,430 | 0,466 | 0,526 |
| 0,90 | 0,539 | 0,524 | 0,509 | 0,492 | 0,474 | 0,485 | 0,499 | 0,485 | 0,459 | 0,446 | 0,418 | 0,454 | 0,515 |
| 0,92 | 0,528 | 0,513 | 0,498 | 0,481 | 0,463 | 0,474 | 0,488 | 0,473 | 0,447 | 0,435 | 0,407 | 0,442 | 0,503 |
| 0,94 | 0,517 | 0,502 | 0,487 | 0,470 | 0,452 | 0,463 | 0,476 | 0,462 | 0,436 | 0,424 | 0,396 | 0,431 | 0,492 |
| 0,95 | 0,511 | 0,497 | 0,481 | 0,464 | 0,446 | 0,457 | 0,471 | 0,456 | 0,431 | 0,418 | 0,391 | 0,426 | 0,487 |
| 0,96 | 0,506 | 0,491 | 0,476 | 0,459 | 0,441 | 0,452 | 0,465 | 0,451 | 0,425 | 0,413 | 0,385 | 0,420 | 0,481 |
| 0,98 | 0,495 | 0,481 | 0,465 | 0,448 | 0,430 | 0,441 | 0,455 | 0,440 | 0,414 | 0,402 | 0,375 | 0,409 | 0,471 |
| 1,00 | 0,485 | 0,470 | 0,454 | 0,437 | 0,419 | 0,430 | 0,444 | 0,430 | 0,404 | 0,392 | 0,365 | 0,399 | 0,460 |
| 1,02 | 0,475 | 0,460 | 0,444 | 0,427 | 0,409 | 0,420 | 0,434 | 0,419 | 0,394 | 0,381 | 0,355 | 0,389 | 0,450 |
| 1,04 | 0,464 | 0,450 | 0,434 | 0,417 | 0,399 | 0,410 | 0,423 | 0,409 | 0,384 | 0,372 | 0,345 | 0,379 | 0,440 |
| 1,06 | 0,455 | 0,440 | 0,424 | 0,407 | 0,389 | 0,400 | 0,414 | 0,399 | 0,374 | 0,362 | 0,336 | 0,369 | 0,430 |
| 1,08 | 0,445 | 0,430 | 0,414 | 0,397 | 0,380 | 0,391 | 0,404 | 0,390 | 0,365 | 0,353 | 0,327 | 0,360 | 0,420 |
| 1,10 | 0,435 | 0,420 | 0,405 | 0,388 | 0,371 | 0,381 | 0,394 | 0,380 | 0,356 | 0,344 | 0,319 | 0,351 | 0,410 |
| 1,15 | 0,412 | 0,397 | 0,382 | 0,366 | 0,348 | 0,359 | 0,372 | 0,358 | 0,334 | 0,323 | 0,298 | 0,330 | 0,387 |
| 1,20 | 0,390 | 0,376 | 0,360 | 0,345 | 0,328 | 0,338 | 0,351 | 0,337 | 0,314 | 0,303 | 0,280 | 0,310 | 0,366 |
| 1,25 | 0,369 | 0,355 | 0,340 | 0,325 | 0,309 | 0,319 | 0,331 | 0,318 | 0,296 | 0,285 | 0,262 | 0,291 | 0,346 |
| 1,30 | 0,350 | 0,336 | 0,322 | 0,307 | 0,291 | 0,301 | 0,313 | 0,300 | 0,278 | 0,268 | 0,247 | 0,274 | 0,327 |
| 1,35 | 0,332 | 0,318 | 0,304 | 0,290 | 0,275 | 0,284 | 0,295 | 0,283 | 0,262 | 0,253 | 0,232 | 0,259 | 0,309 |
| 1,40 | 0,315 | 0,302 | 0,288 | 0,274 | 0,260 | 0,269 | 0,280 | 0,268 | 0,248 | 0,238 | 0,219 | 0,244 | 0,293 |
| 1,45 | 0,299 | 0,286 | 0,273 | 0,259 | 0,246 | 0,254 | 0,265 | 0,253 | 0,234 | 0,225 | 0,206 | 0,231 | 0,278 |
| 1,50 | 0,284 | 0,271 | 0,259 | 0,246 | 0,233 | 0,241 | 0,251 | 0,240 | 0,222 | 0,213 | 0,195 | 0,218 | 0,263 |
| 1,55 | 0,270 | 0,258 | 0,246 | 0,233 | 0,220 | 0,228 | 0,238 | 0,228 | 0,210 | 0,202 | 0,184 | 0,207 | 0,250 |
| 1,60 | 0,257 | 0,245 | 0,233 | 0,221 | 0,209 | 0,217 | 0,226 | 0,216 | 0,199 | 0,191 | 0,175 | 0,196 | 0,238 |

3. Literatura

- 1 PN-EN 1993-1-2 Eurokod 3: Projektowanie konstrukcji stalowych, Część 1-2: Reguły ogólne – Obliczanie konstrukcji z uwagi na warunki pożarowe.
- 2 PN-EN 1993-1-1 Eurokod 3: Projektowanie konstrukcji stalowych, Część 1-1: Reguły ogólne i reguły dla budynków.

Protokół jakości

| Tytuł zasobu | Dane: Współczynniki niestateczności w podwyższonej temperaturze | | |
|---|---|---------------|------------|
| Odniesienie | EN 1993-1-1:2005; EN 1993-1-2:2005 | | |
| ORYGINAŁ DOKUMENTU | | | |
| | Imię i nazwisko | Instytucja | Data |
| Stworzony przez | Wald F. | CTU in Prague | 16/04/2009 |
| Zawartość techniczna sprawdzona przez | Sokol Z. | CTU in Prague | 16/04/2009 |
| Zawartość redakcyjna sprawdzona przez | | | |
| Zawartość techniczna zaaprobowana przez: | | | |
| 1. Wielka Brytania | G W Owens | SCI | 9/6/06 |
| 2. Francja | A Bureau | CTICM | 9/6/06 |
| 3. Szwecja | B Uppfeldt | SBI | 9/6/06 |
| 4. Niemcy | C Müller | RWTH | 9/6/06 |
| 5. Hiszpania | J Chica | Labein | 9/6/06 |
| Zasób zatwierdzony przez Koordynatora Technicznego | M Haller | PARE | 9/6/06 |
| Stworzony przez | G W Owens | SCI | 12/7/06 |
| TŁUMACZENIE DOKUMENTU | | | |
| Tłumaczenie wykonał i sprawdził: | L. Ślęczka, PRz | | |
| Tłumaczenie zatwierdzone przez: | B. Stankiewicz | PRz | |
| | | | |

Informacje ramowe

| | | |
|-------------------------------|--|--------------------------------------|
| Tytuł* | Dane: Współczynniki niestateczności w podwyższonej temperaturze | |
| Seria | Projektowanie pożarowe | |
| Opis* | Opracowanie podaje tablicę współczynników niestateczności elementów stalowych wykonanych z gatunków stali S235, S275, S355, S420 i S460 w przypadku wyboczenia i zwichrzenia. Podano graficzne porównanie krzywych wyboczenia i zwichrzenia w podwyższonej temperaturze i tych w temperaturze pokojowej. | |
| Poziom dostępu* | Umiejętności specjalistyczne | Specjalista |
| Identyfikator* | Nazwa pliku | SD008a-PL-EU |
| Format | | Microsoft Word 9.0; 11 stron; 537 kb |
| Kategoria* | Typ zasobu | Dane do projektowania |
| | Punkt widzenia | Inżynier |
| Temat* | Obszar stosowania | Projektowanie w warunkach pożaru |
| Daty | Data utworzenia | 16/04/2009 |
| | Data ostatniej modyfikacji | 01/06/2006 |
| | Data sprawdzenia | |
| | Ważny od | |
| | Ważny do | |
| Język(i)* | | Polski |
| Kontakt | Autor | Wald F. CTU in Prague |
| | Sprawdził | Sokol Z. CTU in Prague |
| | Zatwierdził | |
| | Redaktor | |
| | Ostatnia modyfikacja | |
| Słowa kluczowe* | Nośność elementów w warunkach pożaru, wyboczenie, słupy, belki | |
| Zobacz też | Odniesienie do Eurokodu | |
| | Przykład(y) obliczeniowy | |
| | Komentarz | |
| | Dyskusja | |
| | Inne | |
| Sprawozdanie | Przydatność krajowa | Europa |
| Instrukcje szczegółowe | | |